



Imagerie Multiplex Cell Dive pour visualiser les niches des cellules souches/progénitrices du cancer du foie

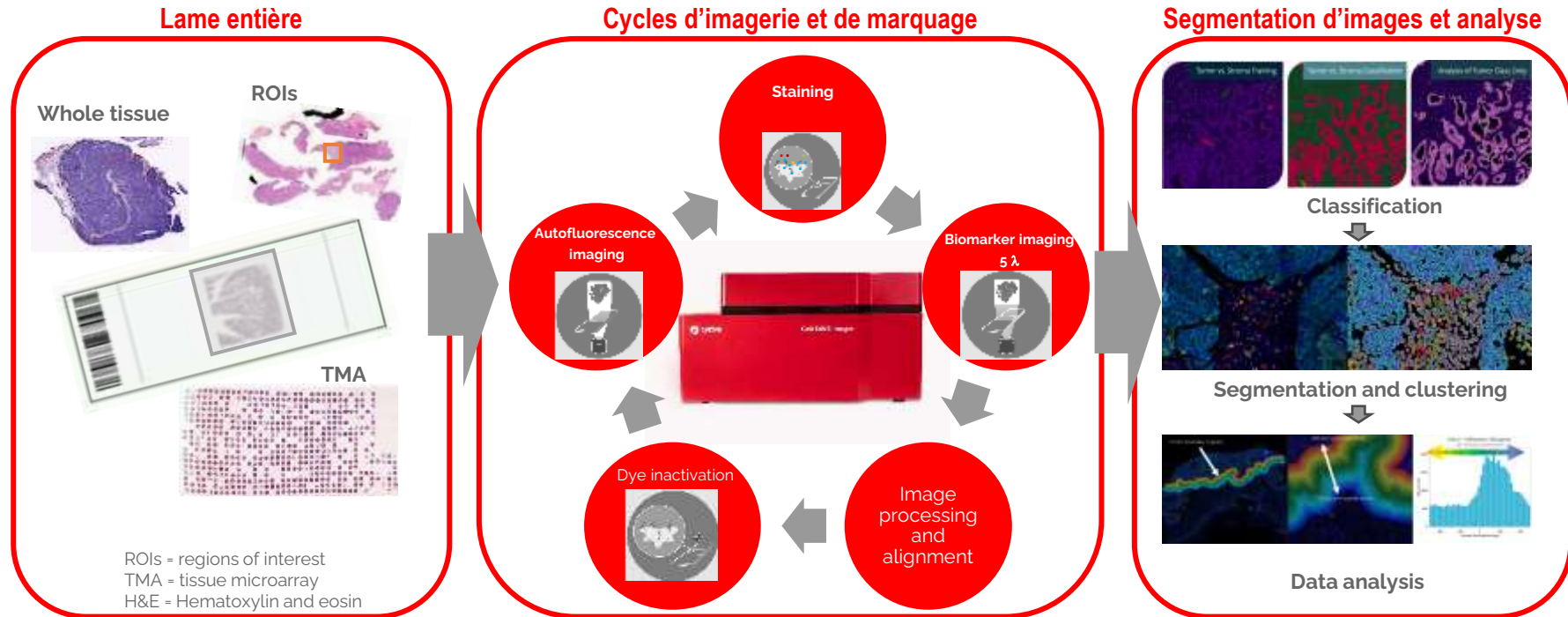
Roselyne Viel, Romain Désert, Natalia Nieto, David Pointu, Nicolas Mouchet,
Anthony Sébillot, Alain Fautrel, Orlando Musso



Univ Rennes, INSERM, CNRS, UMS Biosit, Plateforme H2P2, Rennes, France
INSERM, Univ Rennes, INRAe, Institut NuMeCan
Department of Pathology, Univ Illinois at Chicago
Leica Microsystems, 35578 Wetzlar, Allemagne



CellDIVE™ le workflow

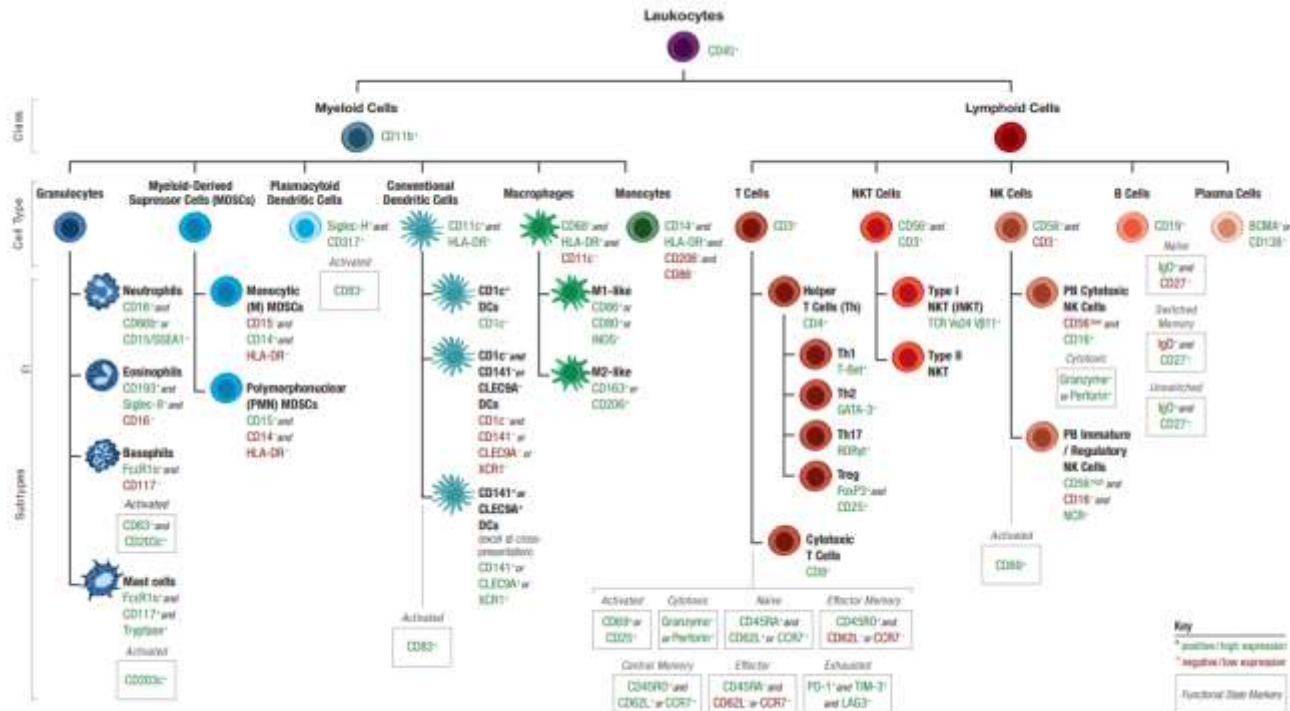


Marquage cyclique – image – inactivation - répétition du process pour 60+ biomarqueurs

Les étapes de caractérisation et de validation des anticorps

IDENTIFICATION DES BIOMARQUEURS POUR LES TISSUS HUMAINS ET SOURIS

THE HUMAN PROTEIN ATLAS



Les étapes de caractérisation et de validation des anticorps



IDENTIFICATION DES ANTICORPS (ANTICORPS MONOCLONAUX ET POLYCLONAUX)

- Cellules tumorales, cellules immunes, le stroma, les cellules endothéliales,...
- Analyse de l'expression de chimiokines, étude de la prolifération



• Validated Antibody Lists



> 1400 available antibodies

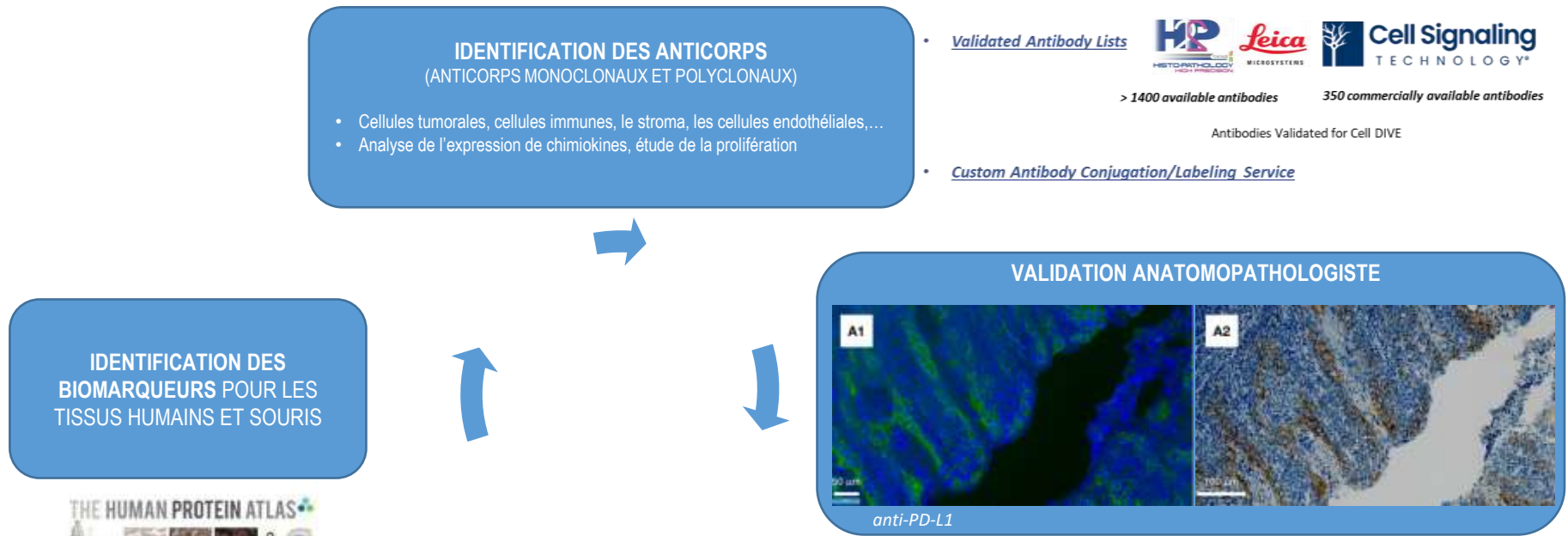
350 commercially available antibodies

Antibodies Validated for Cell DIVE

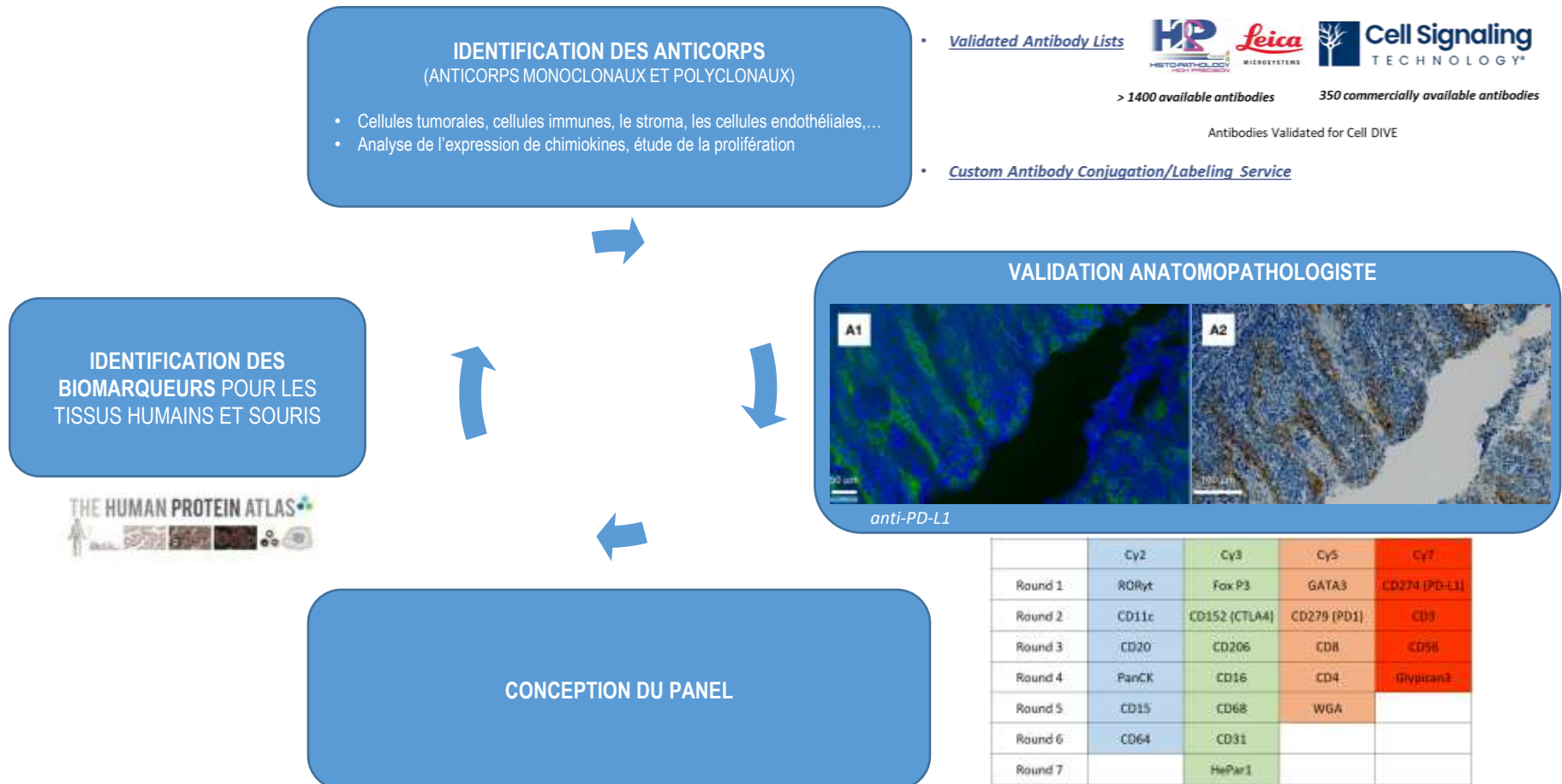
• Custom Antibody Conjugation/Labeling Service



Les étapes de caractérisation et de validation des anticorps



Les étapes de caractérisation et de validation des anticorps





Imagerie Multiplex Cell Dive pour visualiser les niches des cellules souches/progénitrices du cancer du foie

Roselyne Viel, Romain Désert, Natalia Nieto, David Pointu, Nicolas Mouchet,
Anthony Sebillot, Alain Fautrel, Orlando Musso



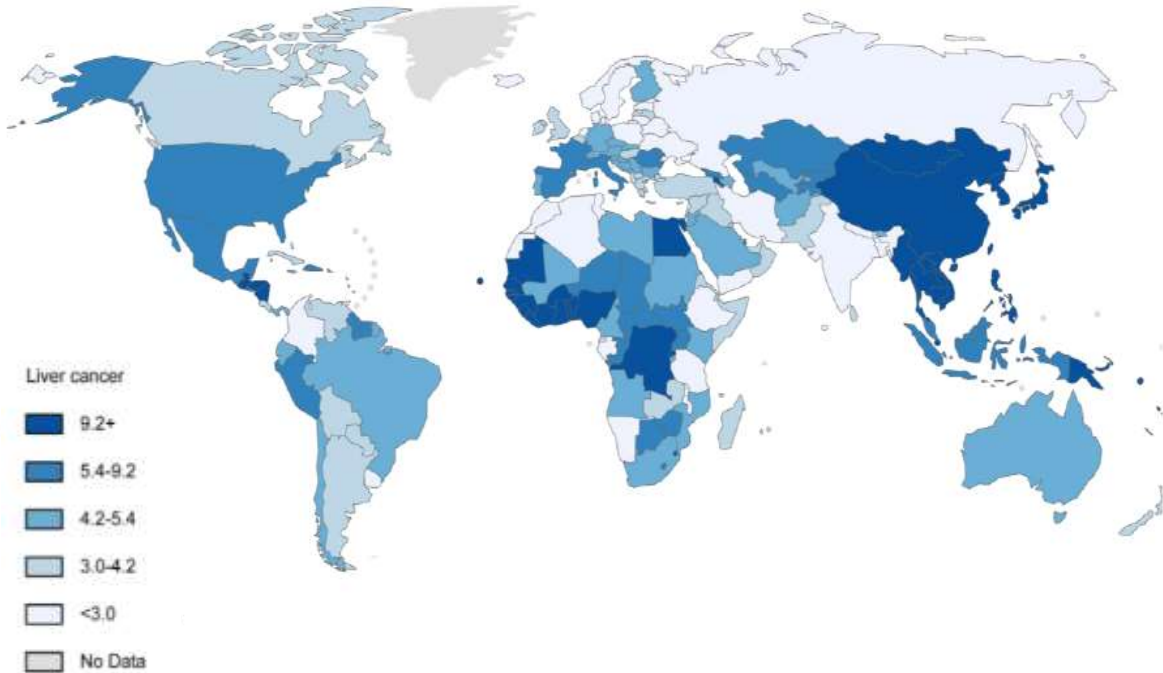
Univ Rennes, INSERM, CNRS, UMS Biosit, Plateforme H2P2, Rennes, France
INSERM, Univ Rennes, INRAe, Institut NuMeCan
Department of Pathology, Univ Illinois at Chicago
Leica Microsystems, 35578 Wetzlar, Allemagne



Epidémiologie du Carcinome Hépatocellulaire

7^{ème} cancer le plus fréquent
3^{ème} cancer le plus mortel

Pas de traitement curatif sauf
→ Chirurgie
→ Transplantation
Sous conditions favorables



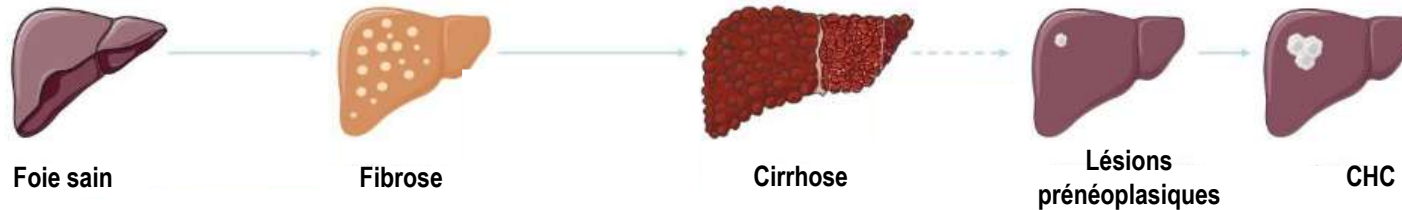
Incidence par âge pour 100 000 individus.

Physiopathologie du Carcinome Hépatocellulaire (CHC)

Le CHC survient dans 80% des cas sur un foie fibro-inflammatoire

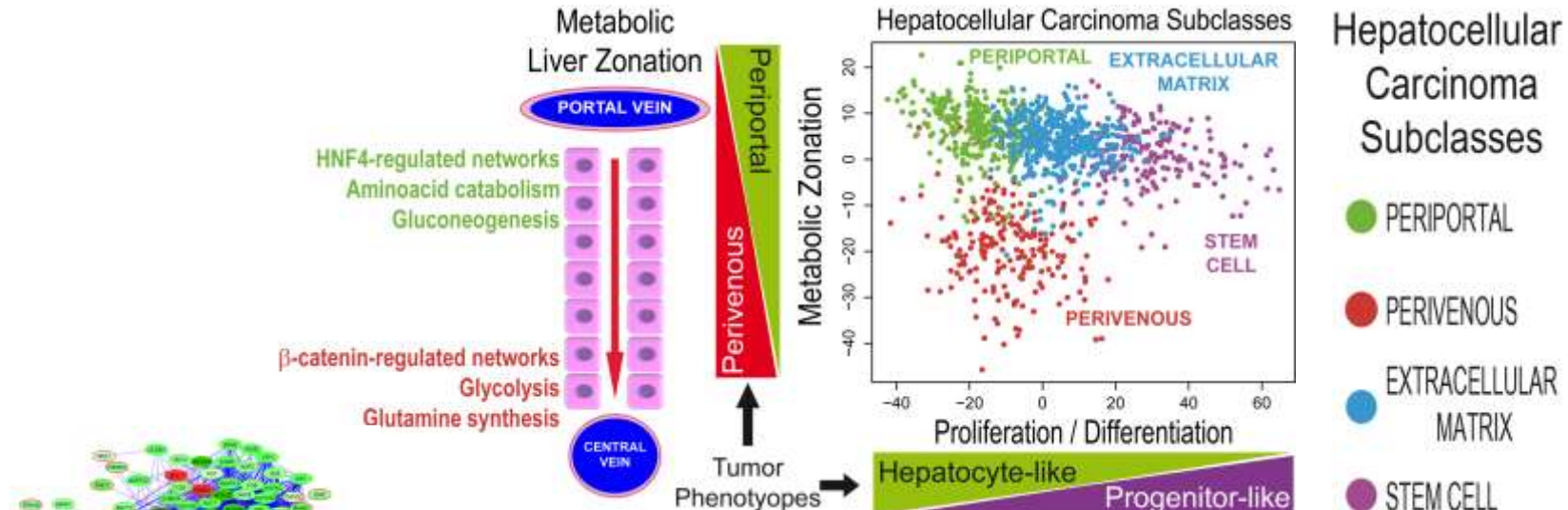
Lésions chroniques fibro-inflammatoires:

- Infections virales
- Abus d'alcool
- MASLD (*Metabolic Dysfunction-Associated Steatotic Liver Disease*)
- Maladies génétiques (e.g., hémochromatose).

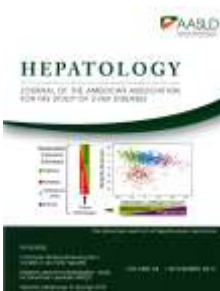


Adapté de Pellicoro et al., Nat. Rev. Immun., 2014

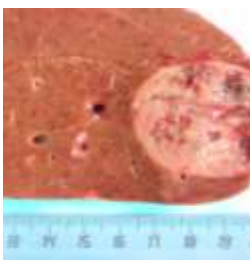
Carcinome hépatocellulaire : hétérogénéité moléculaire



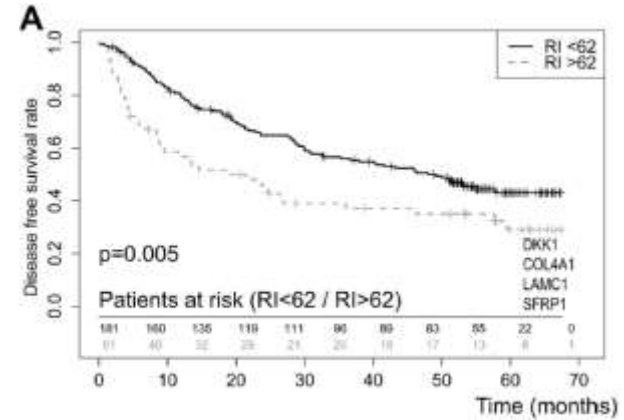
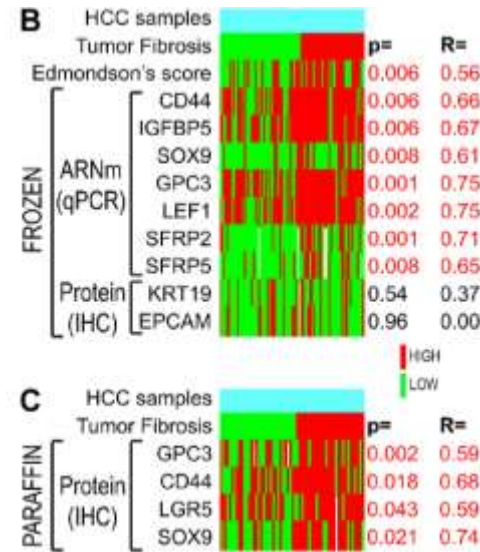
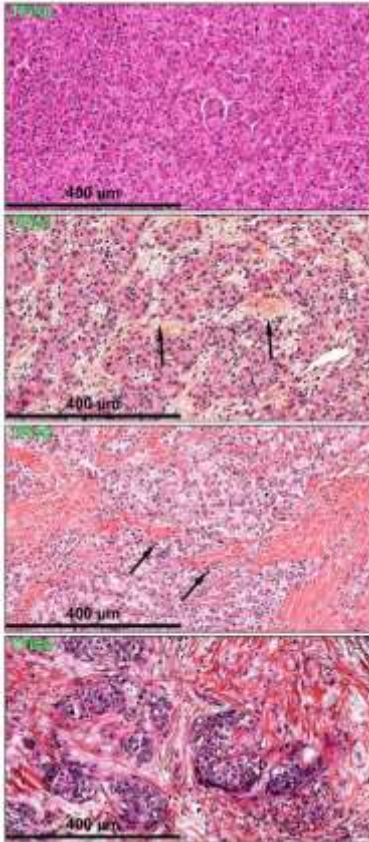
- Désert et al., *Hepatology* 2017
Ng et al., *Hepatology* 2017 (Editorial)
Désert et al., *World Journal of Gastroenterology* 2018
Desquilles et al., *Scientific Reports* 2022
Désert et al., *Hepatology* 2023
Kanzaki et al., *Hepatology* 2023 (Editorial)



Carcinome hépatocellulaire: hétérogénéité macroscopique

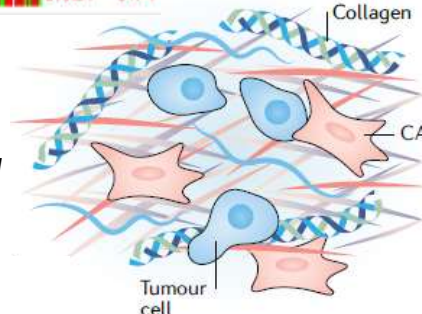


Carcinome hépatocellulaire: hétérogénéité macroscopique



Désert et al. *Int. J. Bioch. Cell Biol.* 2016
Mebarki et al., *Oncotarget* 2016

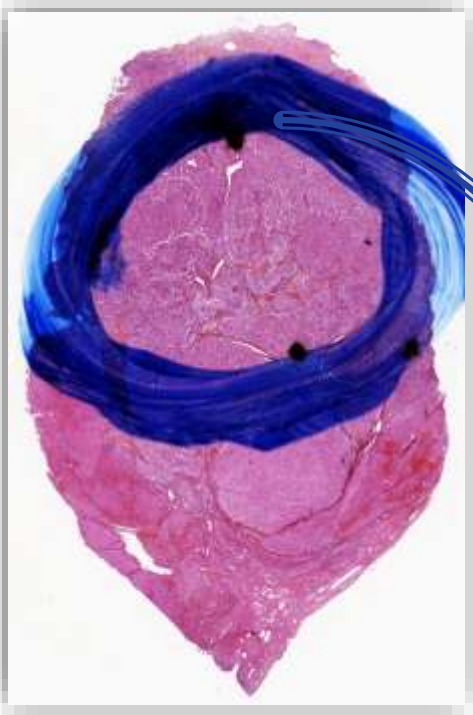
Stroma tumoral



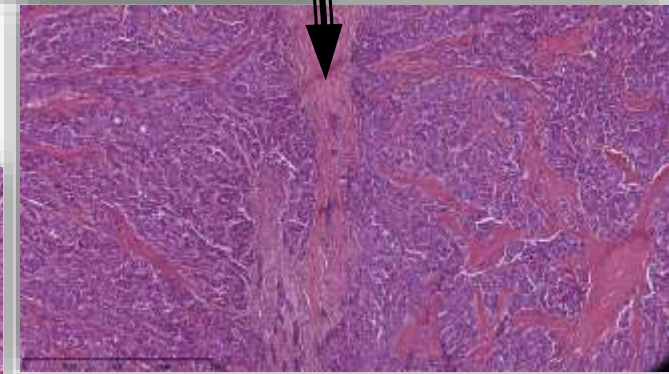
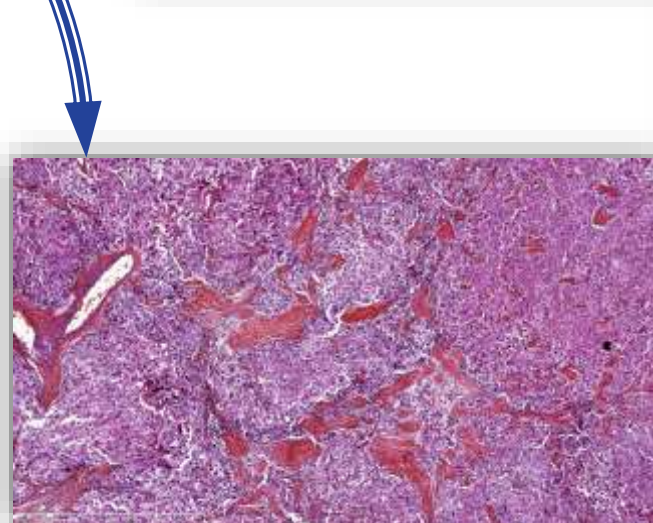
Matrice Extracellulaire
(matrisome)

Cox, *Nat Reviews Cancer* 2021

Carcinome hépatocellulaire : *Nids de Fibrose*



Carcinome hépatocellulaire (0.5X)

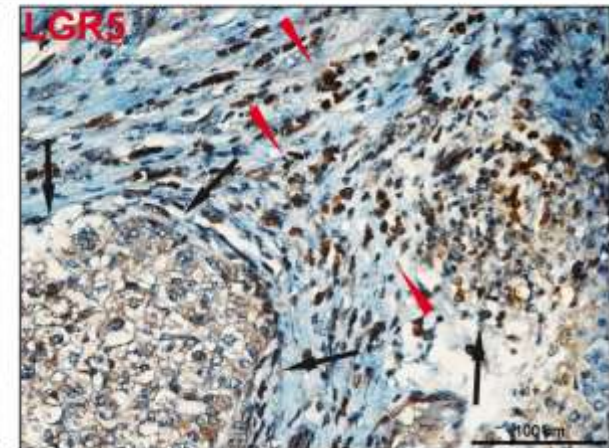
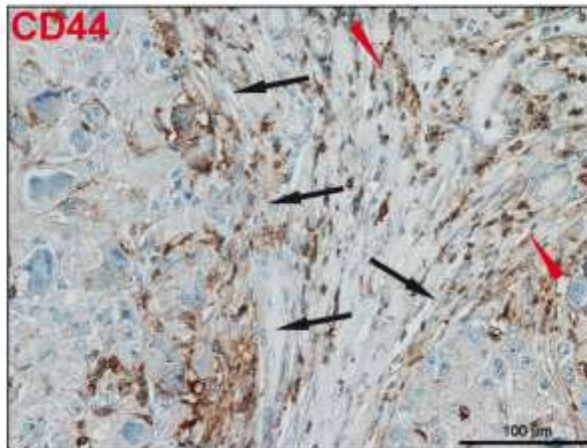
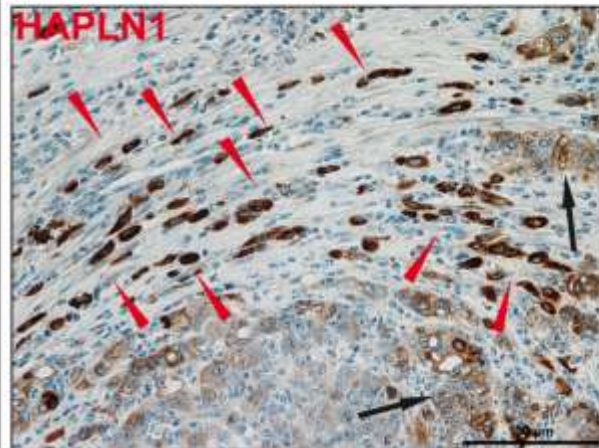


Carcinomes hépatocellulaires (20X)
HES

Carcinome hépatocellulaire :

Nids de Fibrose et Marqueurs de Cellules Souches/Progénitrices du Cancer

A

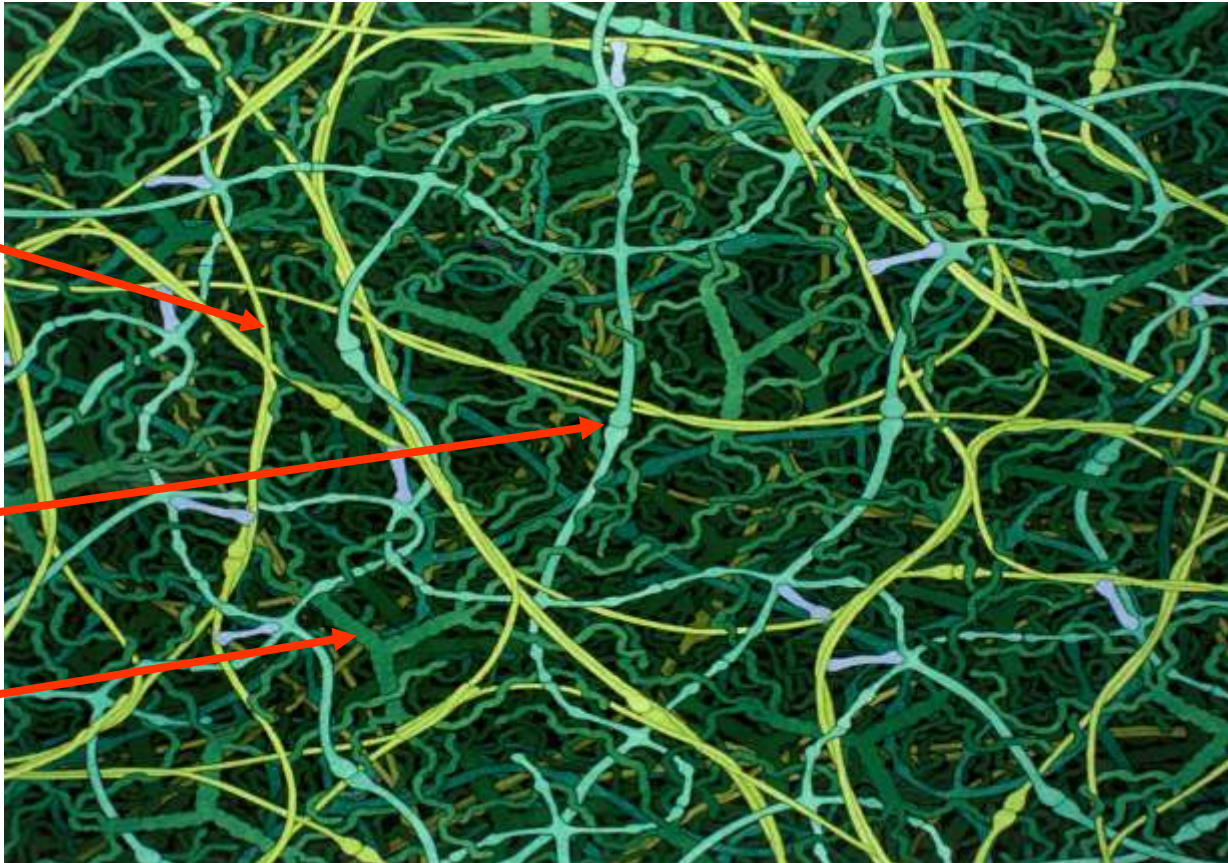


La Matrice Extracellulaire

Collagènes

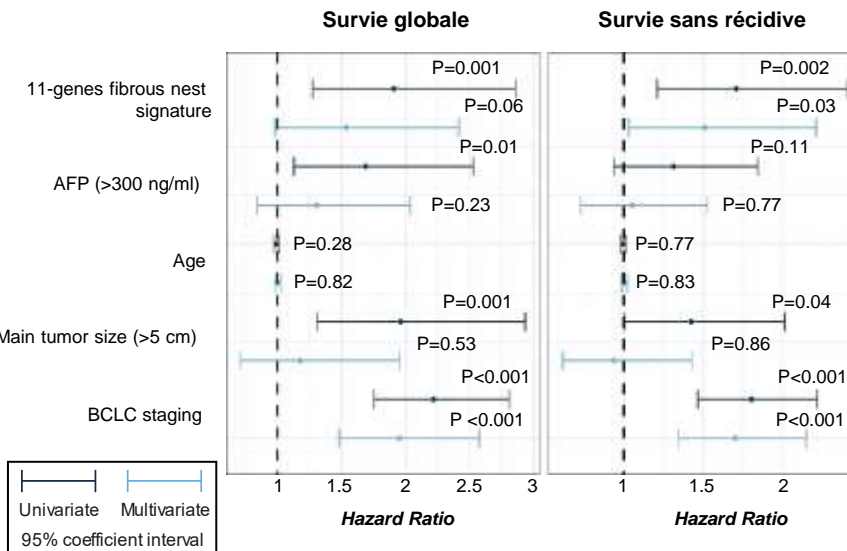
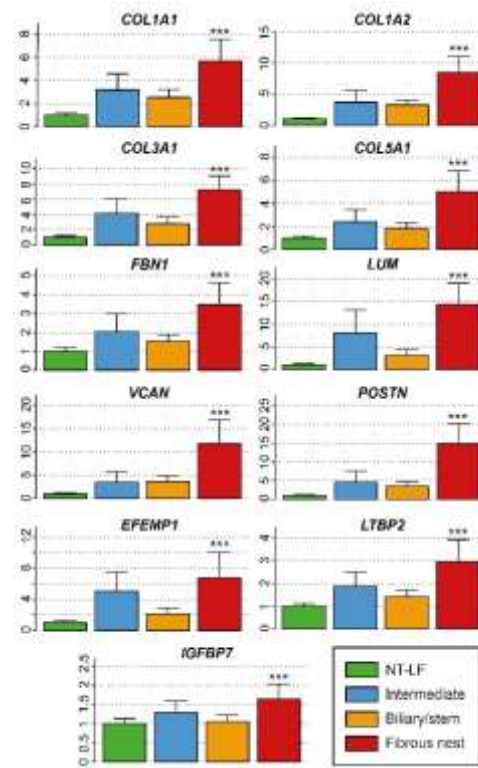
Laminines

Proteoglycans



David Goodsell,
Scripps Research Inst.
La Jolla, California

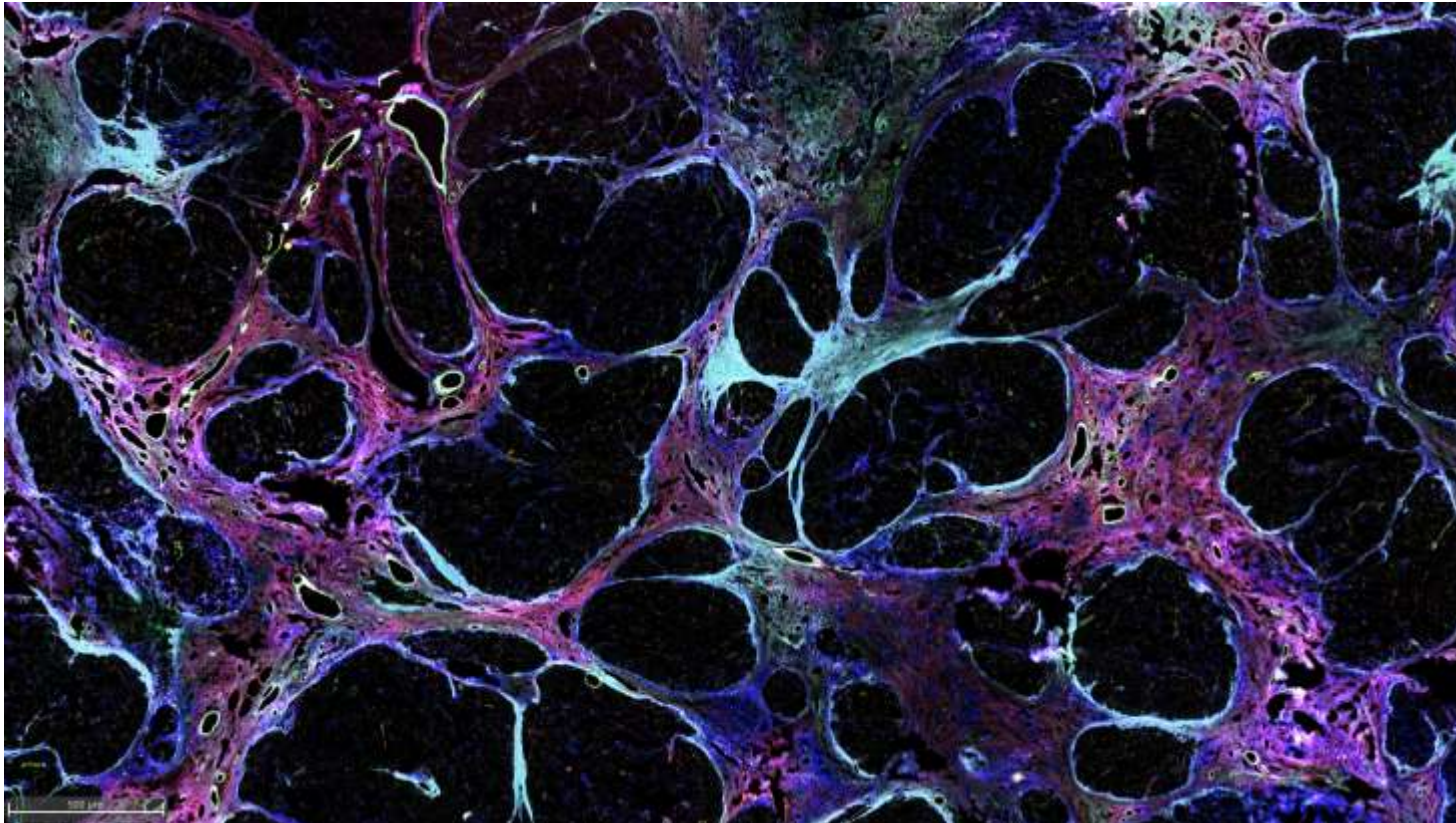
Analyse du Matrisome des Nids de Fibrose du Carcinome Hépatocellulaire Humain



Protéines de la matrice extracellulaire associées à la survie des patients, après résection de la tumeur

Visualisation du Matrisome des Nids de Fibrose du Carcinome Hépatocellulaire

Co-détection de protéines validées

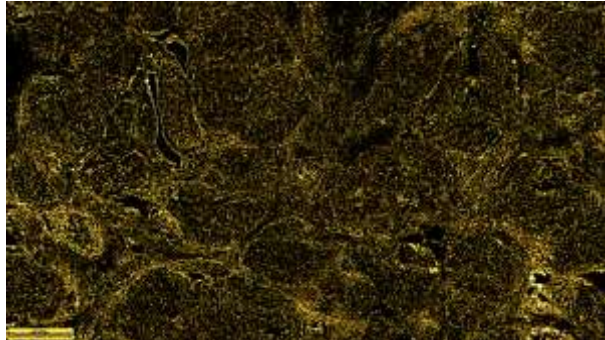


Désert et al., Hepatology 2023
Kanzaki et al., Hepatology 2023 (Editorial)

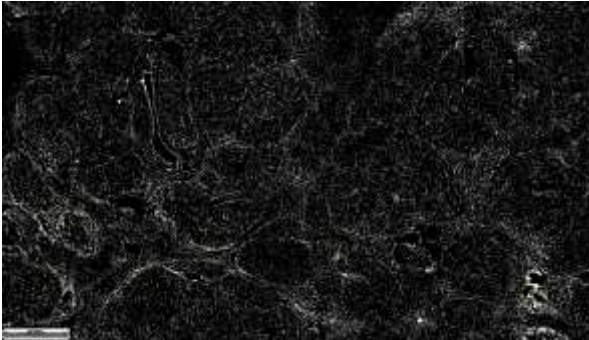
Visualisation du Matrisome des Nids de Fibrose du Carcinome Hépatocellulaire

Co-détection de protéines validées

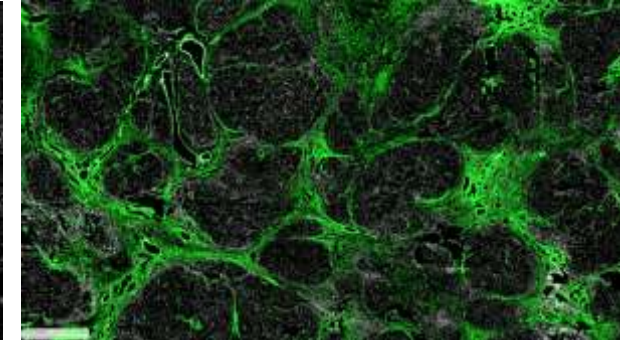
CD31



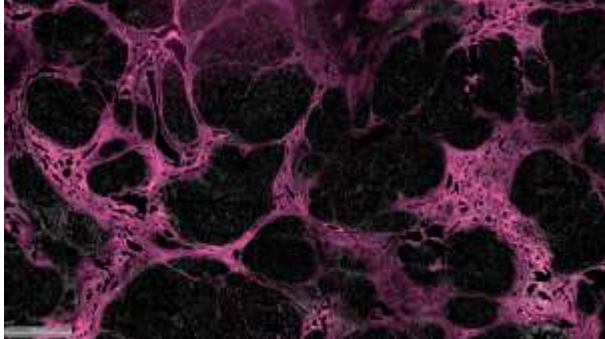
CD45



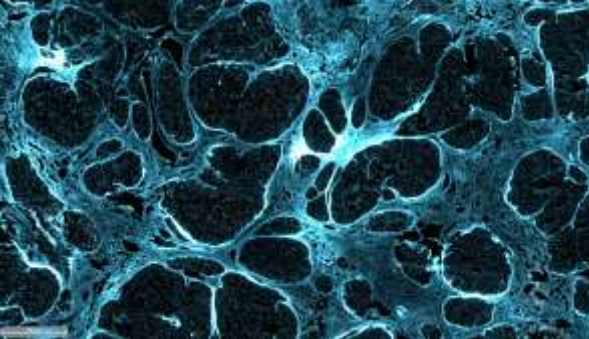
ACTA2



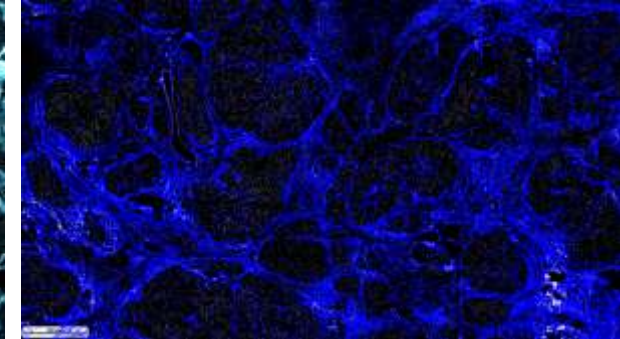
ELN



POSTN



FBN1



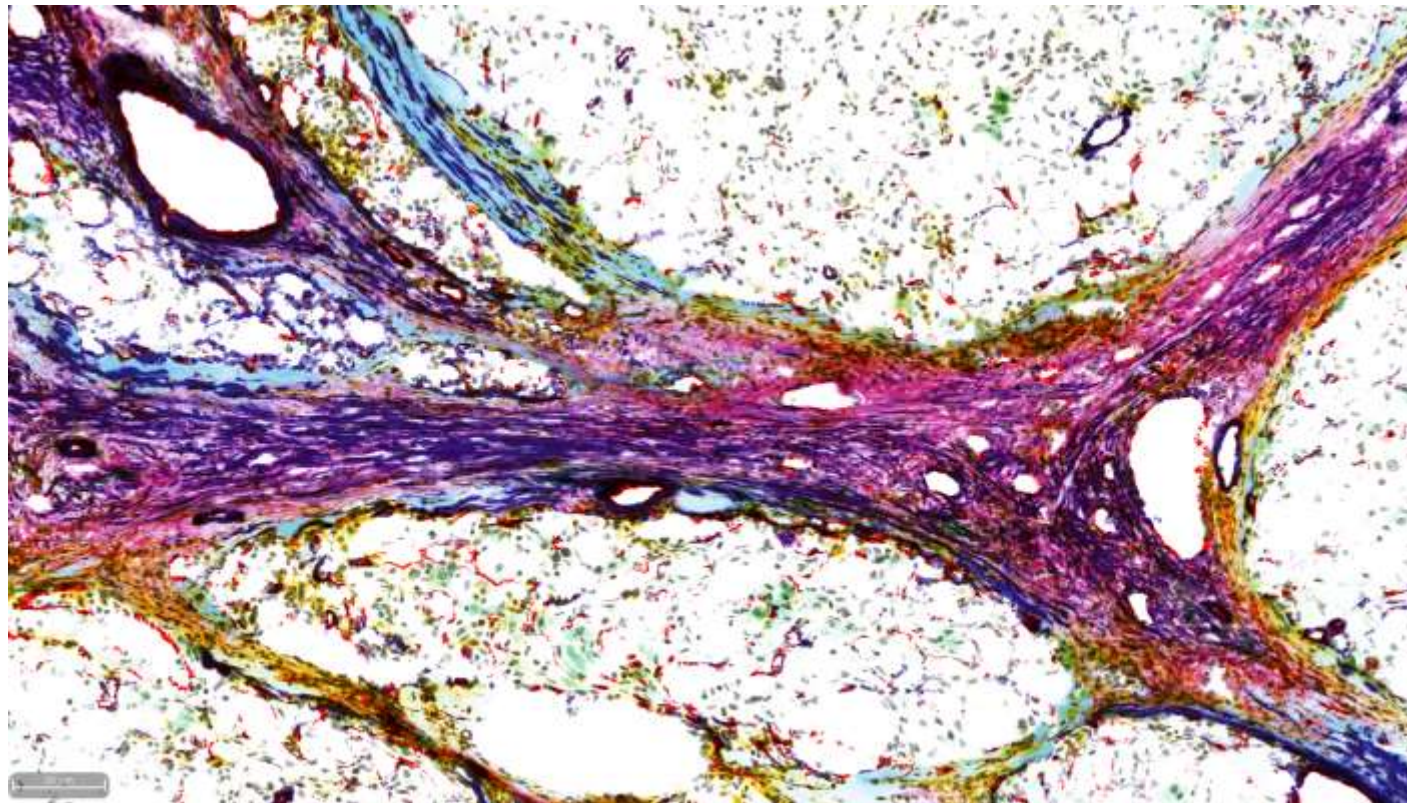
Visualisation du Matrisome des Nids de Fibrose du Carcinome Hépatocellulaire

Co-détection de protéines validées



Visualisation du Matrisome des Nids de Fibrose du Carcinome Hépatocellulaire

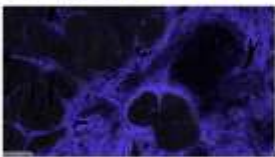
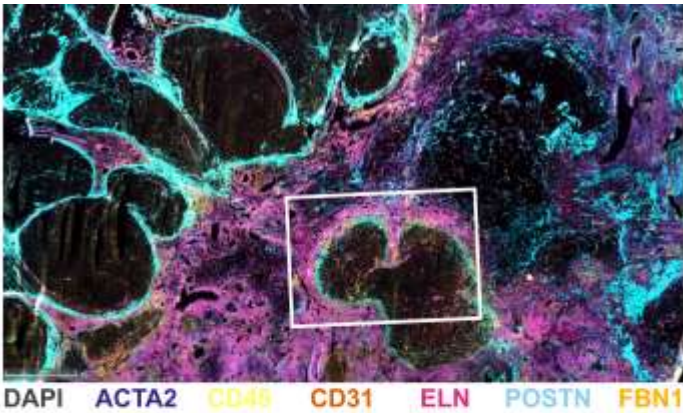
Co-détection de protéines validées



DAPI
ANXA1
CD31
CD45
COL1A1
ELN
FBN1
POSTN
ACTA2

Désert et al., Hepatology 2023
Kanzaki et al., Hepatology 2023 (Editorial)

Matrisome Analysis of hepatocellular carcinoma fibrous nests



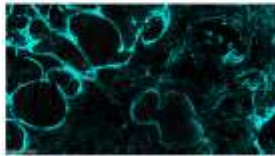
ACTA2



ELN



CD45



POSTN



CD31



FBN1

Antibodies

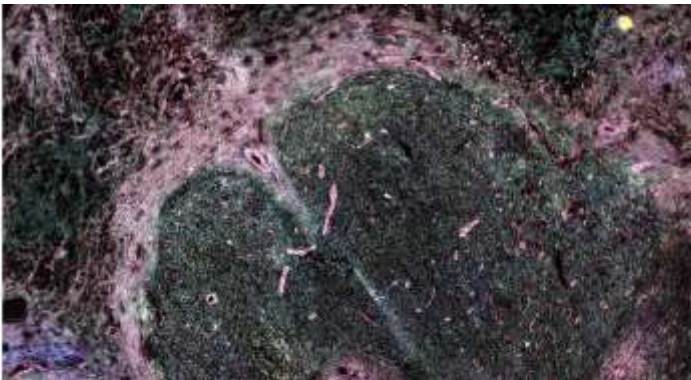
Name	Company	Species	Reference	Clone
VCAN-CF488	Clinisciences	Rb	ORB13754-CF488A	Poly
ANXA1-DL680	Biotechne	Ms	NBP2-70174FR	OTI3A8
FBN1-A750	Clinisciences	Rb	BS-1157R-A750	Poly
CXCL13-Y2	Novusbio	Rb	NBP2-16041G	Poly
POSTN-Y7	Clinisciences	Ms	SC-39631 AF790	F-10
COL5A1-Y3	Novusbio	Ms	NBP1-06118R	1E2-E4/Col5
DPT-Y5	Santa Cruz	MS	sc-376863 AF680	F-4
ELN-Y7	Biotechne	Ms	NBP3-08889IR	ELN/2069
COL1A1-Y2	Biotechne	Rb	NBP1-77457G	Poly
CD45-Y3	Biotechne	Rb	NBP3-08910R	PTPRC/1975R
ACTA2-Y5	Biotechne	Ms	NBP2-34522FR	1A4/asm-1
CD31-Y3	Abcam	Rb	ab279331	EPR309
GDF15-A555	CliniSciences	Rb	Ibs-3818R-A555	Poly

Versican
Annexin 1
Fibrillin
CXCL13
Periostin
Collagen V
Dermatopontin
Elastin
Collagen I
CD45
Alpha-SMA
CD31
GDF15

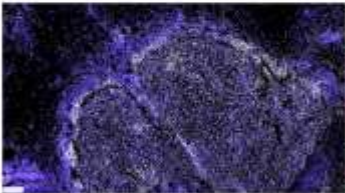
Leica
MICROSYSTEMS

Application note

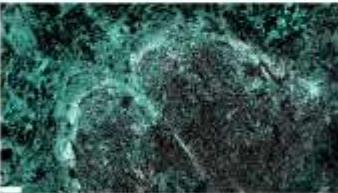
Visualisation du Matrisome des Nids de Fibrose du Carcinome Hépatocellulaire



DAPI ACTA2 CD66 CD31 COL1A1 COL5A1 DPT VCAN



COL1A1



COL5A1



DPT



VCAN

Antibodies

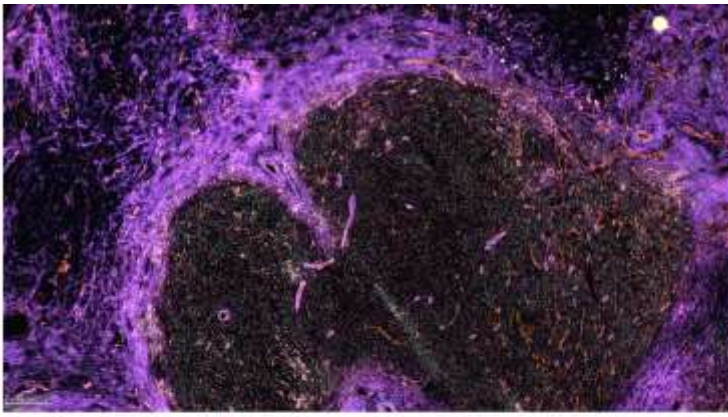
Name	Company	Species	Reference	Clone
VCAN-CF488	Clinisciences	Rb	ORB13754-CF488A	Poly
ANXA1-DL680	Biotechne	Ms	NBP2-70174FR	OTI3A8
FBN1-A750	Clinisciences	Rb	BS-1157R-A750	Poly
CXCL13-Y2	Novusbio	Rb	NBP2-16041G	Poly
POSTN-Y7	Clinisciences	Ms	SC-39631 AF790	F-10
COL5A1-Y3	Novusbio	Ms	NBP1-06118R	1E2-E4/Col5
DPT-Y5	Santa Cruz	MS	sc-376863 AF680	F-4
ELN-Y7	Biotechne	Ms	NBP3-08889IR	ELN/2069
COL1A1-Y2	Biotechne	Rb	NBP1-77457G	Poly
CD45-Y3	Biotechne	Rb	NBP3-08910R	PTPRC/1975R
ACTA2-Y5	Biotechne	Ms	NBP2-34522FR	1A4/asm-1
CD31-Y3	Abcam	Rb	ab279331	EPR309
GDF15-A555	CliniSciences	Rb	bs-3818R-A555	Poly

- Versican
- Annexin 1
- Fibrillin
- CXCL13
- Periostin
- Collagen V
- Dermatopontin
- Elastin
- Collagen I
- CD45
- Alpha-SMA
- CD31
- GDF15

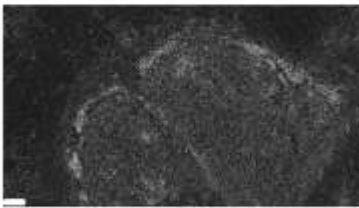
Leica
MICROSYSTEMS

Application note

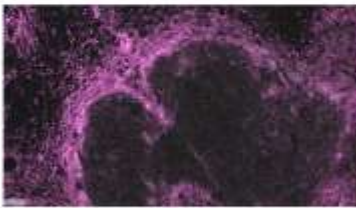
Visualisation du Matrisome des Nids de Fibrose du Carcinome Hépatocellulaire



DAPI ACTA2 CD45 CD31 ANXA1 CXCL13 GDF15



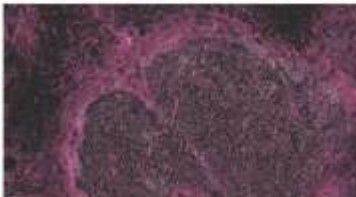
DAPI



ANXA1



CXCL13



GDF15

Antibodies

Name	Company	Species	Reference	Clone
VCAN-CF488	Clinisciences	Rb	ORB13754-CF488A	poly
ANXA1-DL680	Biotechnne	Ms	NBP2-70174FR	OTI3A8
FBN1-A750	Clinisciences	Rb	BS-1157R-A750	Poly
CXCL13-Y2	Novusbio	Rb	NBP2-16041G	Poly
POSTN-Y7	Clinisciences	Ms	SC-398631 AF790	F-10
COL5A1-Y3	Novusbio	Ms	NBP1-05110R	IE2-E4/C015
DPT-Y5	Santa Cruz	MS	sc-376863 AF680	F-4
ELN-Y7	Biotechnne	Ms	NBP3-08889IR	ELN/2069
COL1A1-Y2	Biotechnne	Rb	NBP1-77457G	Poly
CD45-Y3	Biotechnne	Rb	NBP3-08910R	PTPRC/1975R
ACTA2-Y5	Biotechnne	Ms	NBP2-34522FR	IA4/asm-1
CD31-Y3	Abcam	Rb	ab279331	EPR309
GDF15-A555	CliniSciences	Rb	bs-3818R-A555	poly

Versican
Annexin 1
Fibrillin
CXCL13
Periostin
Collagen V
Dermatopontin
Elastin
Collagen I
CD45
Alpha-SMA
CD31
GDF15

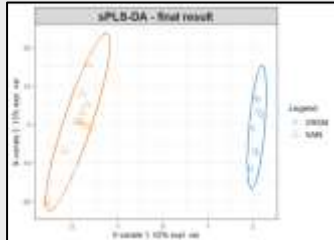
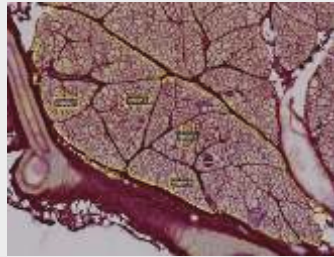
Leica
MICROSYSTEMS

Application note

Microscopie Multimodale

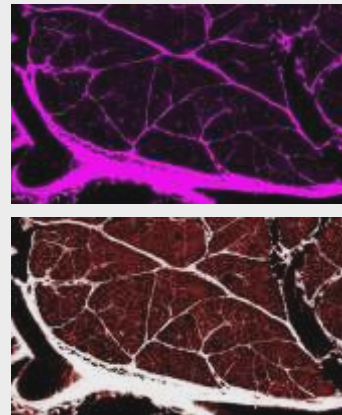
Microscopie multimodale sans marquage

Spectroscopie Raman



sPLS-DA analysis

Second harmonic generation (SHG)



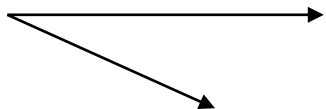
K. Rouger : Physiopathologie Animale et bioThérapie du muscle et du système nerveux - UMR 703 (PAuTher)

Laurence Dubreuil : APEX PAuTher INRAE/Oniris
Ecole nationale vétérinaire de Nantes

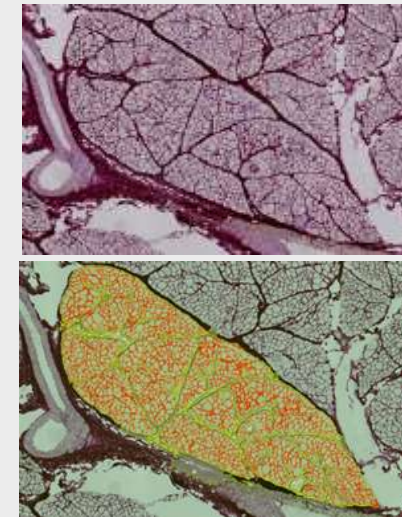
SRS Stimulated Raman Scattering

CARS Coherent Anti-Stokes Raman Spectroscopy

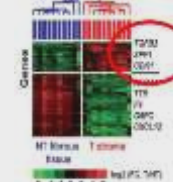
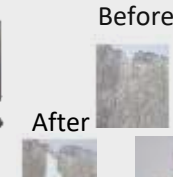
Multiplexing Cell DIVE



Coloration Picosirius



MICRODISSECTION PAR CAPTURE LASER





Bruno TURLIN
Marie-Dominique GALIBERT

Anthony SÉBILLOT

Roselyne VIEL
Pascale BELLAUD
Gevorg GHUKASYAN
Marine SEFFALS
Maëlle GUILLOUT

Dr Musso Orlando : Principal Investigator at the Institute Nutrition, Metabolism and Cancer (NuMeCan), Inserm.

NuMeCan - UMR-1317 INSERM – INRAe



Dr Mourcin Frédéric : Principal Investigator at the Institute MicrOenvironment and B-cell: Immunopathology cell Differentiation and Cancer (MOBIDIC), Inserm.

MOBIDIC - UMR INSERM U1236



Dr Céline RAGUENES-NICOL : Principal Investigator at the Institute for Environmental and Occupational Health (IRSET), Inserm.

Irset - Inserm UMR_S 1085



Dr David Pointu



Marine SEFFALS : marine.seffal@univ-rennes.fr

Anthony SEBILLOT : anthony.sebillot@univ-rennes.fr

*MERCI
de votre attention*